

海岸堤防堤脚部の洗掘

鳥取大学工学部 正会員 野田 英明・岩佐 敏博
三井建設 正会員 松本 寛二

海岸堤防基部の洗掘は堤防破損の原因となることは過去の災害でもよく指摘されているところである。この研究は洗掘現象を実験的に究明し、海浜変形との関連を明らかにしようとするものである。

1. 実験装置および実験方法

実験は鳥取大学工学部水理実験室にある波動水槽を用いて行った。この水槽は、長さ18.1m、幅0.5m、深さ0.6mの鋼製水槽で、その一端には勾配1/10の傾斜部で、粒径0.32mmの一様な砂を敷き、他端にはフラッタ式造波機が設置されている。実験は一定勾配1/10の海浜に一定の特性をもつ波を長時間作用させて平衡海浜を作り、その後同じ波を作用させ、地形変動が起らなくなるまで、すなわち最終海浜になるまで実験を続けた。波高は無堤の平衡海浜および有堤の最終海浜において、複雑な形状の海浜部および水深一定の水槽水平部の種々の位置で測定した。表-1は実験の条件を示すものであるが、No.1および2は正常海浜、No.3は暴風海浜に対するものであり、表中の記号は図-1に示されているようである。

表-1 実験条件

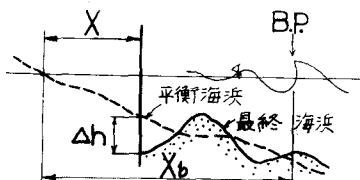
N.O.	x/x_b	H_0	T	h	d	H_0/L_0	H_0/d
1-0	0.0	cm	sec			0.011	100
1-1	0.3						
1-2	1.0						
2-0	0.0	5.9	1.87	40	0.32	0.038	180
2-1	0.3						
2-2	1.0						
3-0	0.0	10.1	1.31			0.038	320
3-1	0.66						
3-2	1.24						

2. 実験結果と考察

図-2は、実験1、2および3の平衡海浜形状、最終海浜形状、それらに対する波高の場所的変化および堤防設置による海底地形の変動量 Δh を無次元形で示したものである。 $x/x_b = 0$ の場合、

図-1 記号の説明

堤直前面の局所洗掘形状はいかにも類似しているが、海浜全域の砂移動の状態は H_0/L_0 あるいは H_0/d の値によってかなり異っている。 $H_0/L_0 = 0.011$ の場合、前浜に砂が堆積し、沖浜は浸食されている。一方、 $H_0/L_0 = 0.038$ の場合とは逆である。また、 H_0/L_0 の値が一定の場合、 H_0/d の値が大きくなると、沖浜の地形は部分重複波の影響を受け、節に砂が堆積し、腹は変化なく、との中间部分が大きく浸食される。 $x/x_b = 0.3 \sim 0.66$ 、すなわち堤防から岸線と碎波実線の中間に設置された場合、 H_0/L_0 の値が0.011と0.038では堤直前面の洗掘深さ Δh が著しく異なる。これは碎波と部分重複波の相乗的效果によると考えられるが、 $H_0/L_0 = 0.038$ の場合はその効果は顕著ではないようである。また、 H_0/L_0 が一定の場合、 H_0/d の値が大きくなると、沖の方まで砂が移動しduneがよく発達する。最後に、 $x/x_b \rightarrow 1.0$ へ1.24、すなわち碎波実線より沖側に堤防を設置した場合、部分重複波の作用によって洗掘形状および洗掘深さが決定されるようである。部分重複波は鉛直堤と海浜からの反射波によって形成される。したがって、堤体の設置位置や波の特性によって反射率がどのように変化するかを知ることは、洗掘



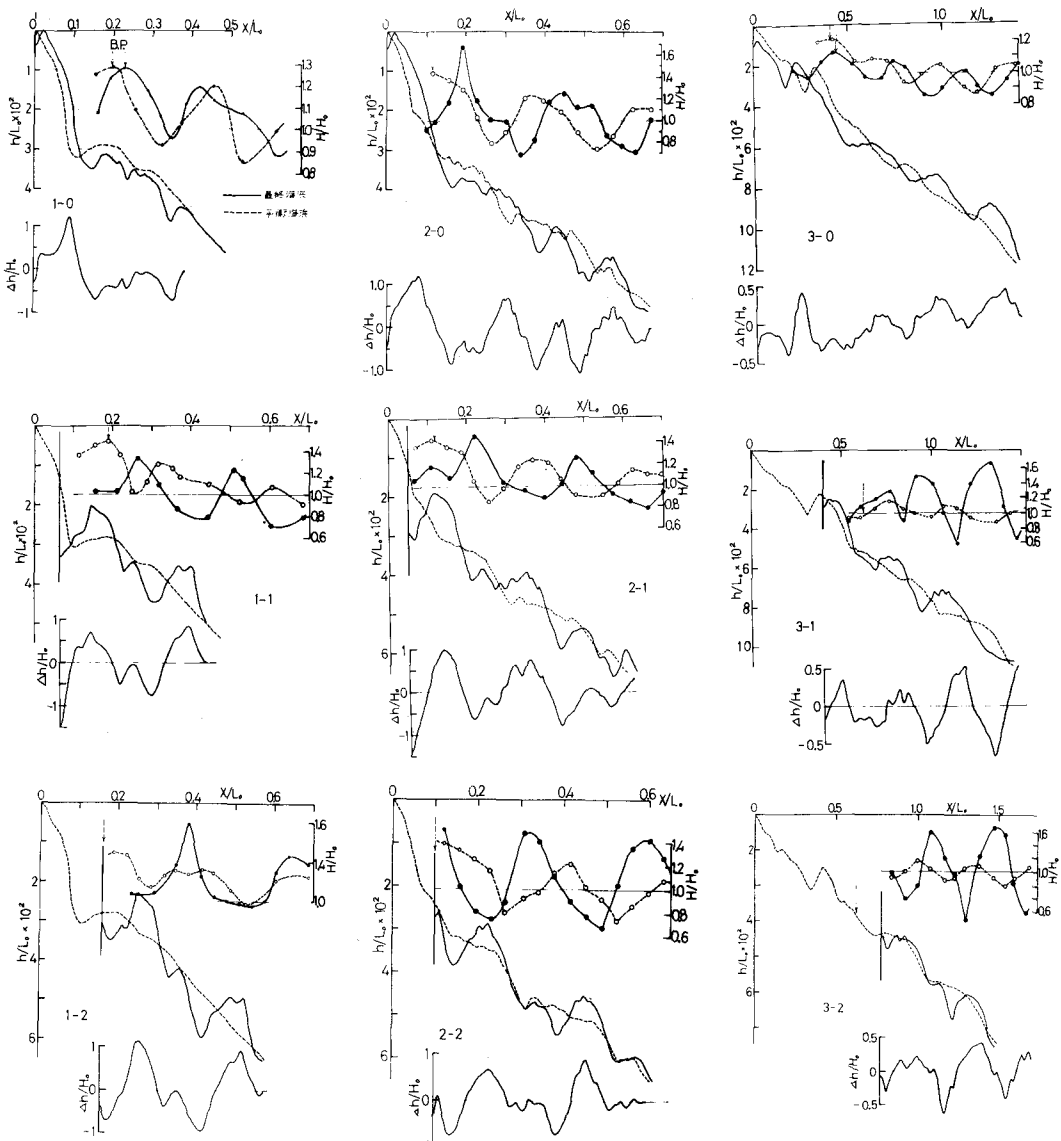


図-2 実験結果(平衡および最終海浜形状, 波高変化, 地形変動)

機構を解明するうえで重要である。図-3は平衡海浜の反射率 r_f と最終海浜のそれ r_e との比と x/x_b および H_0/L_0 の関係と示すものである。図-4は、堤直前の沈幅深さ $\Delta h_m/H_0$ と x/x_b の関係と H_0/L_0 である。これは H_0/d をパラメータとしておしたものである。これらの結果については、講演時に詳述する。

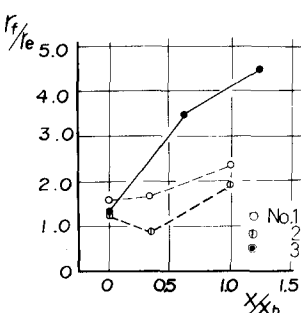


図-3 r_f/r_e と x/x_b の関係

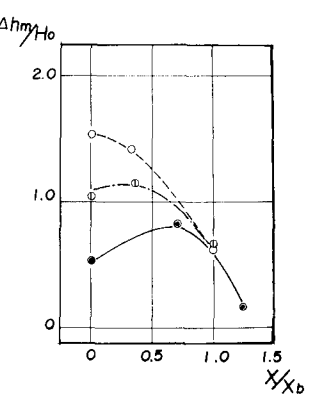


図-4 $\Delta h_m/H_0$ と x/x_b の関係